

на ИОС ультразвуковых деформаций. Это обстоятельство может быть использовано для определения в рентгеноакустическом эксперименте величины статического фактора Дебая—Валлера.

Список литературы

- [1] Иевронова В. И., Ревкевич Г. П. Теория рассеяния рентгеновских лучей. М., 1972. 246 с.
- [2] Chukhovskii F. N., Petrashev P. V. // Acta Cryst. (a). 1977. Vol. 33. N 2. P. 311—319.
- [3] Petrashev P. V., Kislovskii E. N. // Phys. St. Sol. (a). 1979. Vol. 56. N 2. P. 663—667.
- [4] Khrupa V. I., Nikolaev V. V., Skorokhod M. Ya. // Phys. St. Sol. (a). 1989. Vol. 116. N 2. P. K141—K145.
- [5] Николаев В. В., Хрупа В. И., Скорокход М. Я., Григорьев Д. О. // Металлофизика. 1989. Т. 11. № 2. С. 68—74.
- [6] Kohler R., Mohling W., Peibst H. // Phys. St. Sol. (b). 1973. Vol. 56. N 1. P. K21—K23.
- [7] Entin I. R. // Phys. St. Sol. (a). 1988. Vol. 106. N 1. P. 25—30.
- [8] Даценко Л. И., Засимчук В. И., Хрупа В. И., Энтин И. Р. // Металлофизика. 1989. Т. 11. № 6. С. 56—59.
- [9] Даценко Л. И., Молобжин В. Б., Осиновский М. Е. Динамическое рассеяние рентгеновских лучей реальными кристаллами. Киев: Наукова думка, 1988. 198 с.
- [10] De Marco J. J., Weiss R. J. // Acta Cryst. 1965. Vol. 19. N 1. P. 68—72.
- [11] Осиновский М. Е., Хрупа В. И., Николаев В. В., Скорокход М. Я. // Металлофизика. 1988. Т. 11. № 3. С. 62—67.
- [12] Хрупа В. И., Кисловский Е. Н., Даценко Л. И. // Металлофизика. 1980. Т. 2. № 4. С. 55—59.
- [13] Даценко Л. И., Хрупа В. И., Энтин И. Р. // УФЖ. 1990. Т. 35. № 4. С. 591—593.
- [14] Dederichs P. H. // Phys. Rev. (b). 1971. Vol. 4. N 4. P. 1041—1050.
- [15] Даценко Л. И., Хрупа В. И., Скорокход М. Я. и др. // Металлофизика. 1987. Т. 9. № 1. С. 65—71.
- [16] Хрупа В. И., Энтин И. Р. // Тез. докл. Всесоюз. науч. семинара «Математическое моделирование и применение явлений дифракции». М., 1990. С. 77.

Институт полупроводников АН УССР
Киев

Институт физики твердого тела АН СССР
Черноголовка
Московская область

Поступило в Редакцию
20 июня 1990 г.

В окончательной редакции
28 ноября 1990 г.

ДИФРАКЦИОННОЕ ПРЕОБРАЗОВАНИЕ МОД В ГИБРИДНЫХ ПЛАНАРНЫХ ОПТИЧЕСКИХ ВОЛНОВОДАХ

П. А. Солана, Ю. П. Удоев

Влияние высокопреломляющей диэлектрической пленки, нанесенной на поверхность обычного планарного оптического волновода (ПОВ), на коэффициент связи взаимодействующих мод в процессе дифракции на решетке показателя преломления несущего слоя исследовано ранее в работе [1] применительно к решеткам, индуцированным акустическими поверхностными волнами (АПВ). При этом анализ [1] был ограничен случаем малой толщины пленки, когда ее наличие приводит только к изменению пространственного распределения полей уже существующих в исходном ПОВ мод, и дополнительно предполагалось, что наносимая пленка не обладает фотоупругим и электрооптическим эффектами, т. е. является пассивной. В связи с разработкой активных элементов, сформированных на ограниченных участках пассивных «транспортных» ПОВ [2], нами был рассмотрен другой практически интересный случай гибридного ПОВ, когда чувствительной к управляющему воздействию является только наносимая пленка, причем толщина этой пленки не ограничивалась, а механизм управляющего воздействия не обязательно связывался с АПВ.

Схема двухслойного ПОВ, содержащего подложку с показателем преломления n_s , тонкопленочные слои 1 и 2 с показателями преломления n_1 , n_2 и покровную среду с показателем преломления n_c , показана на вставке рис. 1. При расчетах предполагалось, что все среды являются немагнитными, непоглощающими и изотропными. Рассматривались только TE -волны и полагалось, что $n_2 > n_1 > n_s > n_c = 1$. Процедура расчета спектра мод и распределений полей мод была стандартной (см., например, [3, 4]).

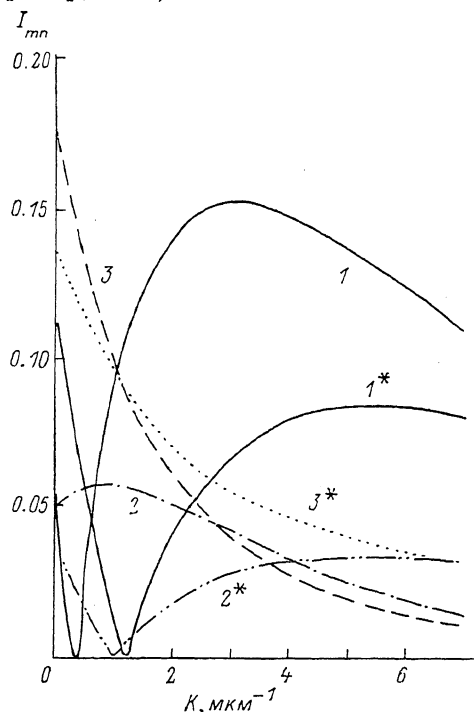
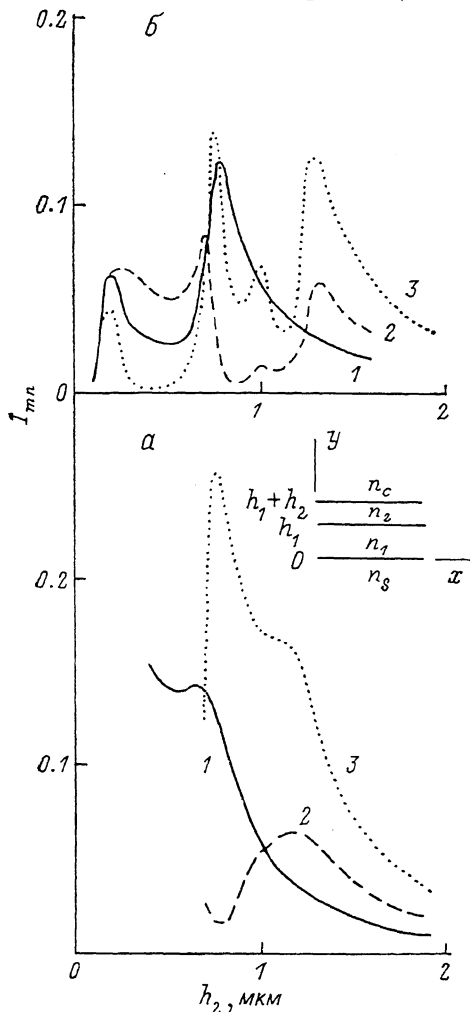


Рис. 2. Влияние затухания решетки на величину интегралов перекрытия.

1, $1^* - I_{01}$; 2, $2^* - I_{02}$; 3, $3^* - I_{12}$; 1—3 — $h_1 = h_2 = 1 \text{ мкм}$, $1^* - 3^* — h_1 = 5 \text{ мкм}$, $h_2 = 0.75 \text{ мкм}$.

Рис. 1. Зависимость интегралов перекрытия от толщины h_2 второго слоя для $h_1 = 1$ (а) и 5 мкм (б).

1 — I_{01} , 2 — I_{02} , 3 — I_{12} .

Из общей теории акустооптического взаимодействия в волноводных структурах [5] следует, что при периодической модуляции показателя преломления несущего слоя вида

$$n = n + \Delta n V(y) \cos(2\pi x/\Lambda), \quad (1)$$

где $n = \text{const}$, Δn — наибольшее изменение показателя преломления и $0 \leqslant V(y) \leqslant 1$, коэффициент связи x_{mn} взаимодействующих мод пропорционален нормированному интегралу перекрытия

$$I_{mn} = \frac{\left| \int_{-\infty}^{+\infty} f_m(y) V(y) f_n(y) dy \right|}{\left[\int_{-\infty}^{+\infty} f_m^2(y) dy \int_{-\infty}^{+\infty} f_n^2(y) dy \right]^{1/2}}, \quad (2)$$

где $f_m(y)$, $f_n(y)$ — функции поперечного распределения электрических полей m -й и n -й взаимодействующих мод.

При расчетах принималось, что функция $V(y)$ отлична от нуля только в области $h_1 \leq y \leq h_1 + h_2$ и имеет вид $V(y) = \exp[-K(y - h_1)]$, где K — показатель затухания. Такой вид $V(y)$ соответствует расположению встречно-штыревых электродов на границе слоев 1, 2 в том случае, когда в материале слоя 2 наблюдается электрооптический эффект, или освещению слоя 2 со стороны подложки интерференционным полем актиничного излучения в том случае, когда в материале слоя 2 наблюдается фотоиндуцированное изменение показателя преломления. При возбуждении решетки показателя преломления с помощью АПВ величина K пропорциональна частоте АПВ [5]. Все расчеты были проведены для рабочей длины волны 0.6 мкм при $n_s = 1.50$, $n_1 = 1.52$, $n_c = 1$, что типично для экспериментов с ПОВ на основе стекол.

Величина разности $\delta = n_2 - n_1$ была произвольно принята равной 0.1, однако полученные результаты качественно могут быть использованы и в случае других δ .

Если $K \ll 1/h_2$, то в пределах активного слоя $V(y) \approx 1$. Расчеты интегралов перекрытия I_{mn} , проведенные в этом приближении для случая $m=n$, показали, что величина I_{mn} , в наших условиях равная нулю при $h_2=0$ для всех m , монотонно увеличивается с ростом h_2 , причем $I_{mm} \geq 0.95$ уже при $h_2 \sim 2$ мкм даже при относительно большой (~ 5 мкм) толщине пассивного слоя. Такое поведение I_{mm} связано с известным эффектом быстрого втягивания мод в область слоя 2 с ростом h_2 при $n_2 > n_1$ [4, 6]. Тот же эффект позволяет качественно объяснить вид зависимостей $I_{mn}(h_2)$ при $m \neq n$ и малой толщине h_1 пассивного слоя, когда при $h_2=0$ ПОВ является одномодовым (рис. 1, а). В этом случае сначала наблюдается рост I_{mn} (начиная с некоторой толщины h_2 вблизи толщины отсечки), а при достаточно больших значениях h_2 спад I_{mn} с увеличением h_2 , обусловленный ортогонализацией мод в области $h_1 \leq y \leq h_1 + h_2$ вследствие их втягивания в слой 2. Однако расчетные кривые $I_{mn}(h_2)$ в случае больших значений h_1 , когда исходный ПОВ является многомодовым, имеют более сложный, нетривиальный характер (рис. 1, б). Детальный анализ вида функций $f_m(y)$ при разных h_2 для больших h_1 показал, что обнаруженное поведение $I_{mn}(h_2)$ связано с гульсациями поля в слое 2: максимальная величина поля в слое 2 уменьшается, когда на границе слоев 1, 2 находится один из нулей функции $f_m(y)$. Поскольку с ростом h_2 происходит втягивание всех нулей поля в слой 2, то это приводит к осциллирующему поведению кривых $I_{mn}(h_2)$. Спад I_{mn} при достаточно больших значениях h_2 , наблюдаемый для всех m, n , по-прежнему связан с упомянутой выше ортогонализацией мод. Известно, что именно в силу ортогональности мод величина $I_{mn}=0$ при $m \neq n$ и $V(y)=\text{const}$ в случае однослоистого ПОВ. Однако в гибридном ПОВ, как показывают расчетные данные, величина I_{mn} при $m \neq n$ может быть достаточно большой (~ 0.25) даже при $V(y)=\text{const}$, причем наибольшие значения I_{nn} наблюдаются для одномодовых исходных ПОВ.

Для той же волновой структуры была рассчитана зависимость I_{mn} от величины показателя затухания K . Было найдено, что при $m=n$ величина интеграла перекрытия монотонно уменьшается с ростом K . Например, при $h_1=1$ мкм, $h_2=1$ мкм величина $I_{00} \approx 0.98$ для $K=0$, тогда как при $K=4$ мкм⁻¹ величина I_{00} падала до ~ 0.2 . Такое поведение $I_{mm}(K)$ существенно отличается от взаимодействия с АПВ, при котором I_{mm} сначала растет с увеличением частоты АПВ, а потом уменьшается [1]. Это различие связано с характерным для АПВ уменьшением амплитуды акустического поля и, следовательно, величины Δn с уменьшением частоты при фиксированной мощности АПВ. Необычный характер кривых $I_{mn}(K)$ был обнаружен и в случае дифракции с изменением номера моды (рис. 2). Особенностью расчетных кривых является наличие глубоких минимумов I_{mn} при некоторых значениях K . Из (2) следует, что необходимым (но не достаточным) условием появления минимума I_{mn} является расположение по крайней мере одного из нулей функции $f_m(y)$ в области слоя 2, причем функция $V(y)$ играет роль ортогонализирующего весового множителя. Поскольку экспоненциальный вид $V(y)$ характерен и для АПВ, то можно ожидать, что при соответствующих параметрах гибридного ПОВ обнаруженный эффект будет проявляться в частотной зависимости эффективности акустооптического взаимодействия.

Таким образом, полученные данные показывают, что дифракционное преобразование мод в гибридных ПОВ имеет ряд особенностей, которые необходимо учитывать при проектировании дифракционных интегрально-оптических элементов. Однако расчеты интегралов перекрытия, подобные проведенным в настоящей работе, полезны не только для оптимизации характеристик дифракционных элементов, но и при организации оптической связи между несущими волноводными слоями в гибридных монолитно-интегрированных структурах [6] и при разработке модуляторов других типов и датчиков [7].

Список литературы

- [1] Петров Д. В., Царев А. В., Яковкин И. Б. // Квантовая электрон. 1982. Т. 9. № 2. С. 247—253.
- [2] Удоев Ю. П. // Тез. докл. Всесоюз. науч.-техн. конф. «Проектирование радиоэлектронных устройств на диэлектрических волноводах и резонаторах». Тбилиси, 1988. С. 339—340.
- [3] Гончаренко А. М., Карпенко В. А. Основы теории оптических волноводов. Минск, 1983. 237 с.
- [4] Кейси У., Паниш П. Лазеры на гетероструктурах. Т. 1. М., 1981. 299 с.
- [5] Введение в интегральную оптику / Под ред. М. Барноски. М., 1977. 367 с.
- [6] Aljerov Zh. I., Gurevich S. A., Karpov S. Yu. et al. // IEEE J. Quant. Electron. 1987. Vol. QE-23. N 6. P. 869—881.
- [7] Солана П. А., Удоев Ю. П. // Тез. докл. Всесоюз. науч.-техн. конф. «Проектирование радиоэлектронных устройств на диэлектрических волноводах и резонаторах». Тбилиси, 1988. С. 341.

Ленинградский политехнический институт
им. М. И. Калинина

Поступило в Редакцию
25 июля 1990 г.

06

Журнал технической физики, т. 61, в. 8, 1991

© 1991 г.

ЭФФЕКТ ОБРАТНОГО ПЕРЕКЛЮЧЕНИЯ В СЕГНЕТОЭЛЕКТРИЧЕСКИХ ПЛЕНКАХ $\text{Sn}_2\text{P}_2\text{S}_6$

Е. Д. Рогач, Е. В. Свиридов, Е. А. Арнаутова,
Э. А. Савченко, Н. П. Проценко

Сегнетоэлектрические тонкие пленки $\text{Sn}_2\text{P}_2\text{S}_6$ являются перспективным материалом для устройств твердотельной микроэлектроники благодаря совместности технологии их получения с кремниевой планарной технологией. Исследование динамики процессов переключения поляризованности пленочных структур, а также выявление взаимосвязи этих процессов с механизмами экранирования поля спонтанной поляризованности могут иметь важное значение для оценки возможности использования данных структур в энергонезависимых элементах памяти.

Переключения поляризованности в пленках $\text{Sn}_2\text{P}_2\text{S}_6$ впервые наблюдались в работе [1], где по петлям гистерезиса были определены величины спонтанной и остаточной поляризованности $P_s = 1.0 \text{ мКл}/\text{см}^2$ и $P_r = 0.6 \text{ мКл}/\text{см}^2$. Петли были ненасыщенными, что связывалось с низкой диэлектрической прочностью пленок и нелинейным ростом проводимости, затрудняющим корректное определение величин поляризованности. В настоящей работе приводятся характеристики переключения поляризованности, полученные с помощью методики Мерца и модифицированной методики Сойера—Тауэра [2], исключающими этот недостаток. Сообщается о достижении в пленках $\text{Sn}_2\text{P}_2\text{S}_6$ устойчивого поляризованного состояния.

Поликристаллические пленки $\text{Sn}_2\text{P}_2\text{S}_6$ толщиной от 3 до 30 мкм выращивались методом вакуумного термического испарения в квазизамкнутом объеме на алюминиевых подложках [3]. На рентгенограммах пленок не наблюдалось рефлексов, соответствующих примесным фазам. Данные рентгенографии, и